

ФИЗИКА МАГНИТНЫХ ЯВЛЕНИЙ

УДК 537.61

СПОНТАННЫЕ СПИН-ОРИЕНТАЦИОННЫЕ ПЕРЕХОДЫ В СПЛАВАХ $Dy_{1-x}Nd_xCo_{4,5}Cu_{0,5}$

О. Б. Дегтева, А. Г. Пастушенков, А. Ю. Соколов

Тверской государственный университет
кафедра магнетизма

Спин-переориентационные переходы, обусловленные изменением типа магнитокристаллической анизотропии «легкая плоскость» – «легкая ось» были обнаружены в сплавах $Dy_{1-x}Nd_xCo_{4,5}Cu_{0,5}$ с помощью трёх независимых методов: термического магнитного анализа, магнетокалорического эффекта и температурных зависимостей намагниченности. Установлено, что температуры спиновой переориентации вектора I_S увеличиваются при уменьшении содержания Nd. Получено удовлетворительное согласие между значениями этих температур, определенными указанными методами.

Ключевые слова: магнитокристаллическая анизотропия, спиновая переориентация, редкоземельные интерметаллические соединения

SPONTANEOUS SPIN-REORIENTATION TRANSITIONS IN $Dy_{1-x}Nd_xCo_{4,5}Cu_{0,5}$ ALLOYS

O. B. Dyogteva, A. G. Pastushenkov, A. Yu. Sokolov

Tver State University
Chair of Magnetism

Spin-reorientation transitions (SPR) caused by the «easy plane» – «easy axis» change of the magnetocrystalline anisotropy type were found to exist in $Dy_{1-x}Nd_xCo_{4,5}Cu_{0,5}$ alloys making use of three independent methods of thermal magnetic analysis, magnetocaloric effect and magnetization temperature dependence. It is established that the temperatures of I_S spin reorientation increase with the decrease of Nd content. The temperature values obtained by the above methods are in satisfactory agreement.

Keywords: magnetocrystalline anisotropy, spin reorientation, rare earth intermetallic compounds

Введение. Хорошо известно, что многокомпонентные сплавы $(R', R'')Co_5$ с тяжелыми и легкими РЗМ применяются для изготовления постоянных магнитов с повышенной температурной стабильностью магнитной индукции в широком рабочем интервале температур,

поэтому изучение их магнитных свойств актуально для практического применения.

Магнитные свойства и особенности микроструктуры сплавов $Dy_{1-x}Nd_xCo_{4,5}Cu_{0,5}$ практически не изучены. В литературе нет однозначного ответа на вопрос, каким типом магнитокристаллической анизотропии они обладают при комнатной температуре. Нет данных о значениях их констант анизотропии. Известно, что в сплавах $NdCo_5$ и $DyCo_5$ при понижении температуры происходит переориентация вектора намагниченности от гексагональной оси c к базисной плоскости через промежуточную угловую фазу.

Интерметаллические соединения $(P3M)Co_5$ являются коллинеарными магнетиками и имеют гексагональную кристаллическую структуру типа $CaCu_5$. Их магнитная структура образована двумя подрешётками: ионами $P3M$ (R -подрешётка) и ионами $3d$ -металла (Co -подрешётка).

На рис. 1 приведены зависимости угла θ между вектором I_s и осью c от температуры для сплавов $DyCo_{5,2}$ и $NdCo_5$ [1]. Интервал температур, в котором $\theta = 90^\circ$, соответствует области существования анизотропии типа «лёгкая плоскость», область монотонного уменьшения угла θ до 0° – анизотропии «лёгкий конус», а температурная область, в которой $\theta = 0^\circ$ – анизотропии «лёгкая ось». Основные данные о параметрах элементарных ячеек a и c , плотности и значениях температур Кюри этих бинарных сплавов приведены в таблице 1.

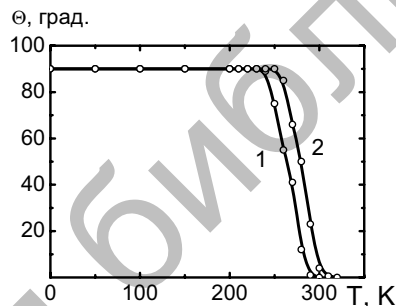


Рис. 1. Температурные зависимости угла θ между направлением вектора I_s и осью c в области спин-ориентационных переходов для сплавов $NdCo_5$ (1) и $DyCo_{5,2}$ (2)

Таблица 1. Параметры ячеек, плотность и температура Кюри сплавов $DyCo_{5,2}$ и $NdCo_5$

	a , нм	c , нм	ρ , 10^3 кг/м 3	T_c , К
$DyCo_{5,2}$	0,5015	0,3982	8,39	910
$NdCo_5$	0,4910	0,3996	9,15	966

Интерметаллиды $Dy_{1-x}Nd_xCo_{4,5}Cu_{0,5}$ получают на основе сплава $DyCo_5$ путем замещения части атомов Dy на атомы неодима в редкоземельной подрешетке и части атомов Co на атомы меди с сохранением типа кристаллической решетки. Поэтому можно предположить, что особенности магнитокристаллической анизотропии бинарных соединений $NdCo_5$ и $DyCo_5$ должны проявляться и в интерметаллидах $Dy_{1-x}Nd_xCo_{4,5}Cu_{0,5}$.

Цель данной работы заключалась в обнаружении и изучении спонтанных спин-переориентационных переходов в сплавах $Dy_{1-x}Nd_xCo_{4,5}Cu_{0,5}$ ($x = 0.2; 0.4; 0.6; 0.8$), закономерностей изменения магнитных свойств и температур спиновой переориентации в зависимости от содержания неодима в диапазоне температур от -170°C до $+170^{\circ}\text{C}$.

Методика эксперимента. Образцы для исследований были получены из крупных зерен гомогенизированных сплавов $Dy_{1-x}Nd_xCo_{4,5}Cu_{0,5}$ и имели сферическую форму. Чтобы убедиться, что образцы находятся в однофазном состоянии, была исследована микроструктура сплавов (рис. 2). Наблюдение и фотосъемка микроструктуры осуществлялись на микроскопе Neophot-30.

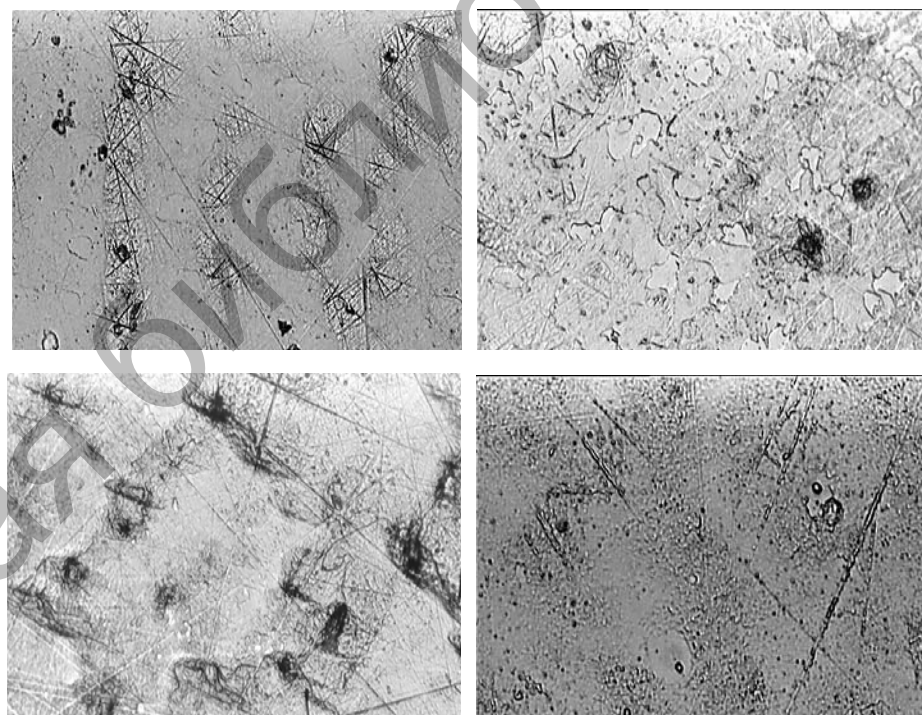


Рис. 2. Поверхностная микроструктура соединений $Dy_{1-x}Nd_xCo_{4,5}Cu_{0,5}$ при $x = 0,8$ (а); $0,6$ (б); $0,4$ (в); $0,2$ (г). Поле зрения 240×180 мкм

Для выявления микроструктуры образцов применялся метод химического травления с использованием травителя следующего состава: FeCl_3 – 5 вес.%, концентрированная HCl – 10 вес.%, этиловый спирт – 85 вес.%. На микрофотографиях рис. 2 видны области, которые не имеют четко очерченных границ и ярко выраженного оптического контраста. Существование таких областей было ранее обнаружено в квазибинарных сплавах типа $R(\text{Co},\text{Cu})_5$ и установлено, что их наличие не влияет на поведение намагниченности в целом [2]. Поэтому можно заключить, что данные области представляют собой концентрационные микронеоднородности, а сплавы находятся в однофазном состоянии.

Полученные результаты и их обсуждение. Для магнитных измерений были подготовлены серии псевдомонокристаллов сплавов каждого состава. Для них методом вибрационного магнитометра были измерены кривые намагничивания в легком и трудном направлениях (рис. 3).

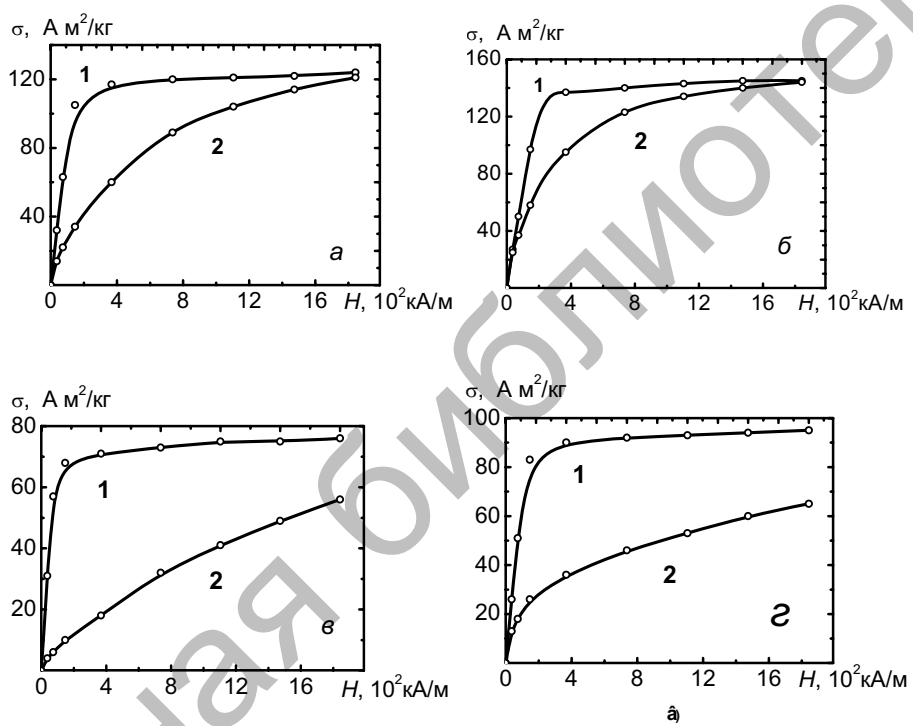


Рис. 3. Кривые намагничивания псевдомонокристаллов сплавов $\text{Dy}_{1-x}\text{Nd}_x\text{Co}_{4.5}\text{Cu}_{0.5}$ при $x = 0.8$ (a); 0,6 (б); 0,4 (в); 0,2(г), измеренные вдоль лёгкой (1) и трудной (2) осей намагничивания

Далее были определены значения удельной намагниченности σ_s для каждого состава и установлено, что они увеличиваются при росте содержания неодима (рис. 4).

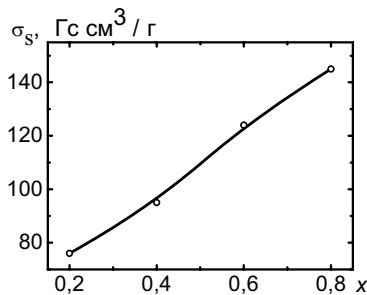


Рис. 4. Зависимость σ_s от содержания неодима в сплавах $Dy_{1-x}Nd_xCo_{4,5}Cu_{0,5}$

Эти результаты можно объяснить на основе модели магнитной структуры, состоящей из трех магнитных подрешеток: подрешетки кобальта, подрешетки диспрозия и подрешетки неодима. Магнитный момент подрешетки Co (M_{Co}) постоянен по абсолютной величине, так как концентрация кобальта в изучаемых соединениях не меняется. Кроме того, кобальтовая подрешетка в данной группе соединений в основном определяет значения намагниченности насыщения, температуры Кюри. Магнитный момент подрешетки Dy (M_{Dy}) антипараллелен M_{Co} , так как соединения $Dy(Co,Cu)_{5,2}$ являются ферримагнетиками. Магнитный момент подрешетки Nd (M_{Nd}) при комнатной температуре незначителен и направлен параллельно магнитному моменту кобальтовой подрешетки, поскольку соединения $NdCo_5$ являются ферромагнетиками (рис. 5).

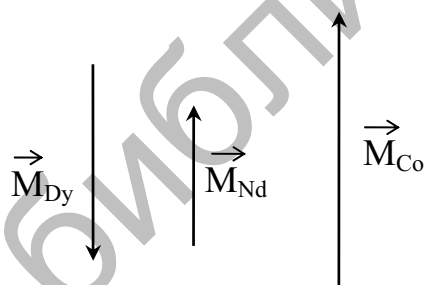


Рис. 5. Магнитные моменты подрешеток Dy, Nd, Co

В соответствии с описываемой моделью полный магнитный момент соединений $Dy_{1-x}Nd_xCo_{4,5}Cu_{0,5}$, приходящийся на одну формулярную единицу, можно вычислить по формуле

$$M = 4,5\mu_{Co} + x\mu_{Nd} - (1-x)\mu_{Dy},$$

где μ_{Co} , μ_{Nd} , μ_{Dy} – магнитные моменты атомов Co, Nd, Dy, соответственно.

По мере замещения части атомов Dy в соединениях на атомы Nd магнитный момент подрешетки диспрозия уменьшается, а подрешетки неодима – растет.

Мы предположили, что указанные сплавы при комнатной температуре имеют тип анизотропии, промежуточный между «ЛО» и «ЛП». Для корректного проведения измерений температурных зависимостей намагниченности необходимо было жестко зафиксировать ориентацию вектора \vec{I}_s . Для этого при низких температурах (-5 ... 0°C) в области существования анизотропии «ЛП» проводилась текстурирование образцов, вращавшихся во внешнем магнитном поле, приложенном вдоль направления одной из легких осей a в базисной плоскости [3]. В результате положение вектора \vec{I}_s вдоль поля фиксировалось, при этом ось c образца ориентирована перпендикулярно плоскости оправки.

Измерение температурных зависимостей намагниченности проводилось методом вибрационного магнитометра. Температуру фиксировали с помощью термопары хромель-алюмель. Переориентация вектора \vec{I}_s при увеличении температуры сопровождается постепенным изменением типа магнитокристаллической анизотропии «ЛП» \Rightarrow «ЛО». В области существования угловой магнитной фазы появляются две проекции вектора \vec{I}_s на направление осей a и c (рис. 6).

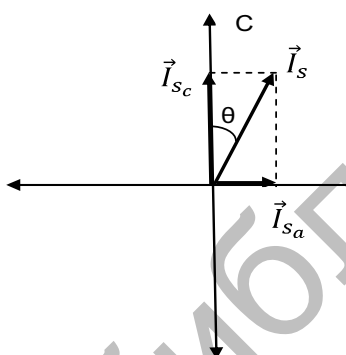


Рис. 6. Переориентация вектора \vec{I}_s

Были измерены зависимости относительных вкладов $\sigma_a(T)$ и $\sigma_c(T)$ в полную намагниченность сплавов $Dy_{1-x}Nd_xCo_{4,5}Cu_{0,5}$ (рис. 7). Области спиновой переориентации вектора \vec{I}_s являются достаточно широкими для всех составов. По точкам пересечения кривых $\sigma_a(T)$ и $\sigma_c(T)$ были определены температуры спин-ориентационных переходов, которые приведены в таблице 2.

Было обнаружено, что при увеличении содержания неодима в сплавах качественно меняется вид зависимостей $\sigma_a(T)$ (рис. 8) от ферримагнитного до ферромагнитного. Увеличение намагниченности для сплавов с низким содержанием неодима (кривые 1, 2) при низких температурах можно объяснить тем, что магнитный момент подрешетки диспрозия убывает быстрее, чем магнитный момент подрешетки

кобальта, а разница между этими магнитными моментами растет. В качестве альтернативного способа определения температур спин-ориентационных переходов в сплавах $Dy_{1-x}Nd_xCo_{4,5}Cu_{0,5}$ были проведены исследования магнетокалорического эффекта (МКЭ).

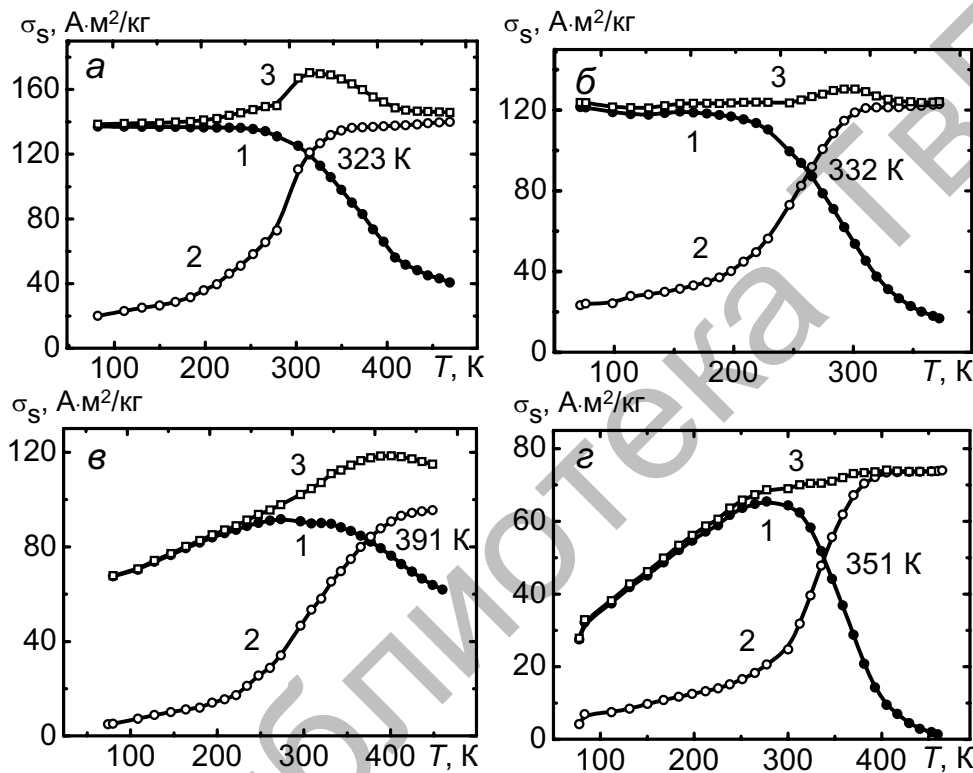


Рис. 7. Температурные зависимости проекций вектора I_s сплавов $Dy_{1-x}Nd_xCo_{4,5}Cu_{0,5}$ на легкое направление в базисной плоскости (1) и на ось c (2) в поле $H = 5$ кЭ при различном содержании Nd: $x = 0,8$ (а); $x = 0,6$ (б); $x = 0,4$ (в); $x = 0,2$ (г). Кривая (3) – расчётные значения полной намагниченности образца

Таблица 2. температуры СПП сплавов $Dy_{1-x}Nd_xCo_{4,5}Cu_{0,5}$

Состав	Температура СПП
$x = 0,8$	50°C (323 K)
$x = 0,6$	59°C (332 K)
$x = 0,4$	118°C (391 K)
$x = 0,2$	78°C (351 K)

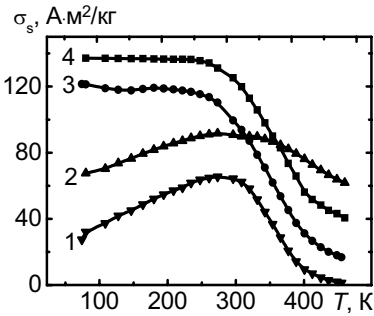


Рис. 8. Температурные зависимости проекции вектора \mathbf{I}_s на легкое направление в базисной плоскости сплавов $Dy_{1-x}Nd_xCo_{4.5}Cu_{0.5}$: (1) $x = 0,2$; (2) $x = 0,4$; (3) $x = 0,6$; (4) $x = 0,8$

На рис. 9 приведены зависимости $\Delta T(T)$ для сплавов с $x = 0,4$ и $x = 0,2$. По положению минимума на кривых $\Delta T(T)$ определяли температуру перехода ЛП \Rightarrow ЛК T_{SR1} . Для сплава $Dy_{0,6}Nd_{0,4}Co_{4.5}Cu_{0,5}$ $T_{SR1} \approx 82^\circ\text{C}$ (355 K), а для сплава $Dy_{0,8}Nd_{0,2}Co_{4.5}Cu_{0,5}$ $T_{SR1} \approx 58^\circ\text{C}$ (331 K). Эти значения не совпадают с температурами СПП, определенными первым способом, что, по-видимому, связано с тем, что в широких интервалах температур спиновой переориентации имеют место две стадии фазового перехода ЛП \Rightarrow ЛК и ЛК \Rightarrow ЛО (рис. 10).

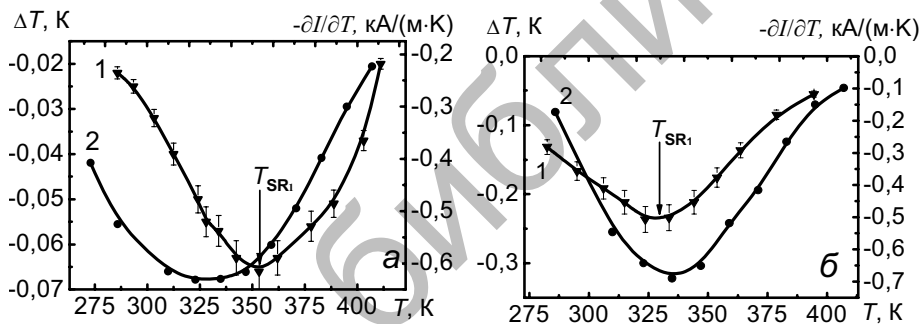


Рис. 9. Зависимости $\Delta T(T)$ (1) и рассчитанной по кривой $\sigma_c(T)$ производной удельной намагниченности (2) сплавов $Dy_{0,6}Nd_{0,4}Co_{4,5}Cu_{0,5}$ (а) и $Dy_{0,8}Nd_{0,2}Co_{4,5}Cu_{0,5}$ (б)

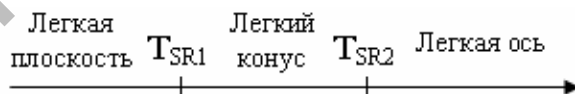


Рис. 10. Схема стадий спин-ориентационного перехода

В процессе исследований был использован третий независимый метод для определения температур спиновой переориентации – метод термического магнитного анализа (ТМА), основанный на эффекте Гопкинсона. Соответствующие зависимости $\mu_h(T)$, полученные при нагреве и охлаждении сплавов $Dy_{1-x}Nd_xCo_{4,5}Cu_{0,5}$, представлены на рис. 11.

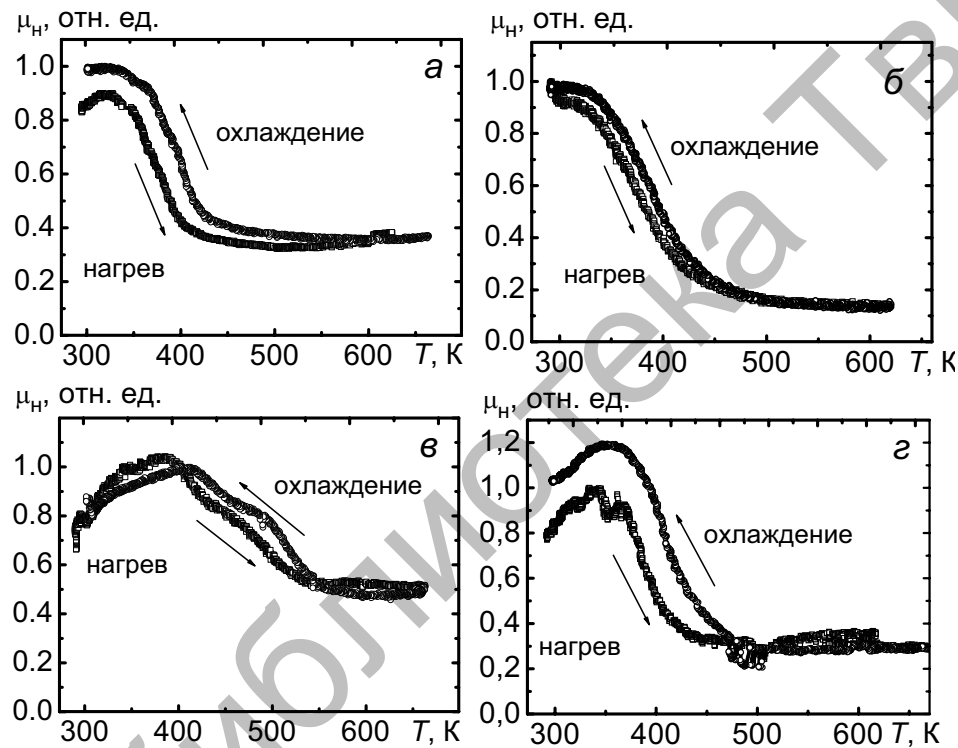


Рис. 11. Температурная зависимость начальной магнитной проницаемости соединений $Dy_{1-x}Nd_xCo_{4,5}Cu_{0,5}$ при $x = 0,8$ (а); $0,6$ (б); $0,4$ (в); $0,2$ (г)

Заключение. С помощью трёх независимых методов термического магнитного анализа, магнетокалорического эффекта и температурных зависимостей намагниченности экспериментально обнаружены и изучены спонтанные спин-переориентационные переходы в сплавах $Dy_{1-x}Nd_xCo_{4,5}Cu_{0,5}$ ($x = 0,2; 0,4; 0,6; 0,8$). Установлено, что температуры спиновой переориентации вектора I_S увеличиваются при уменьшении содержания Nd.

Список литературы

1. Белов К.П., Звездин А.К. и др. Ориентационные переходы в редкоземельных магнетиках. М.: Наука, 1979. С. 146-164.
2. Estevez-Rams E., Fidler J. Microstructural study of high coercivity Sm(Co,Cu)₅ alloy // J. Magn. Magn. Mater. 1999. V.195. P.595-600.
3. Дегтева О.Б., Супонев Н.П., Пастушенков А.Г., Хохолков А.Г. Изучение доменной структуры системы сплавов DyCo_{5-x}Cu_x с анизотропией «легкая плоскость» и особенностей поведения магнитной проницаемости в области спонтанных спин-ориентационных переходов. М.: ГИАБ. 2005. С. 369–382.

Работа выполнена в рамках реализации ФЦП "Научные и научно-педагогические кадры инновационной России" на 2009-2013 годы.

Об авторах:

ДЁГТЕВА Ольга Борисовна - кандидат физ.-мат наук, доцент кафедры магнетизма ТвГУ;

ПАСТУШЕНКОВ Александр Григорьевич - кандидат физ.-мат наук, доцент кафедры магнетизма ТвГУ;

СОКОЛОВ Андрей Юрьевич - студент кафедры магнетизма ТвГУ.